

第二章 静电场—Part 2

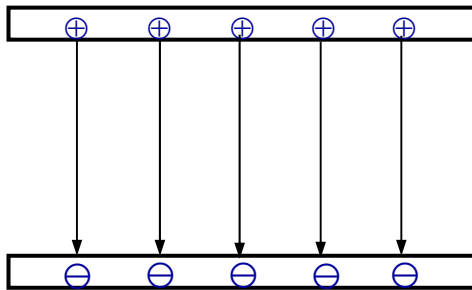
- 电场线和等位面
- 导体和电介质
- 电介质中的电场

2.2.4 电场线和等位面

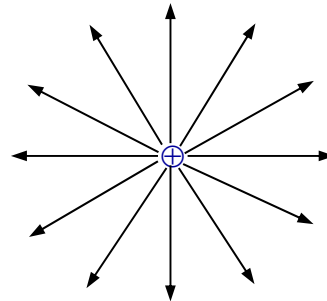
- 引入的目的：形象地表述电场

是一种假想的线，客观上是不存在的

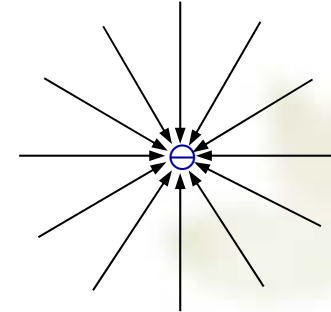
几种典型的电场线分布



带电平行板



正电荷



负电荷

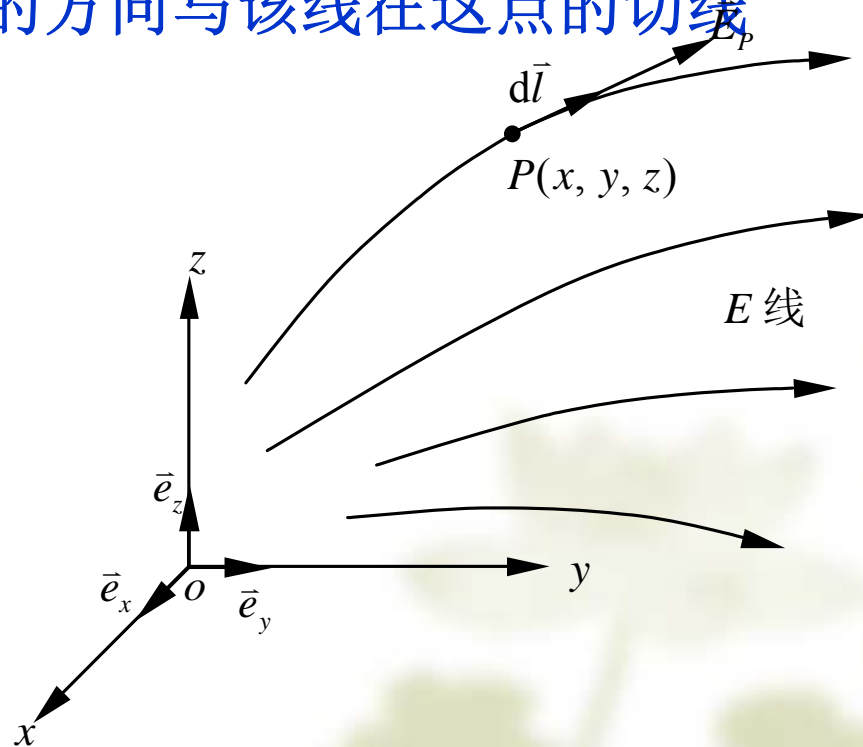
由此可见，电场线起始于正电荷或无穷处，终止于负电荷或无穷处，电场线的疏密程度可以显示电场强度的大小。

■ E 线的微分方程

E 线上任意一点的电场强度的方向与该线在这点的切线方向一致

$$\vec{E} \times d\vec{l} = 0$$

直角坐标系



$$\vec{E} \times d\vec{l} = 0 \quad \text{直角坐标系}$$

$$\vec{E} = E_x \vec{e}_x + E_y \vec{e}_y + E_z \vec{e}_z \quad d\vec{l} = dx \vec{e}_x + dy \vec{e}_y + dz \vec{e}_z$$

$$(E_y dz - E_z dy) \vec{e}_x + (E_z dx - E_x dz) \vec{e}_y + (E_x dy - E_y dx) \vec{e}_z = 0$$

$$\frac{dy}{E_y} = \frac{dz}{E_z}, \quad \frac{dx}{E_x} = \frac{dz}{E_z}, \quad \frac{dy}{E_y} = \frac{dx}{E_x}$$

$$\frac{dx}{E_x} = \frac{dy}{E_y} = \frac{dz}{E_z}$$

\vec{E} 线微分方程 $\rightarrow \vec{E}$ 的解, \vec{E} 线的分布

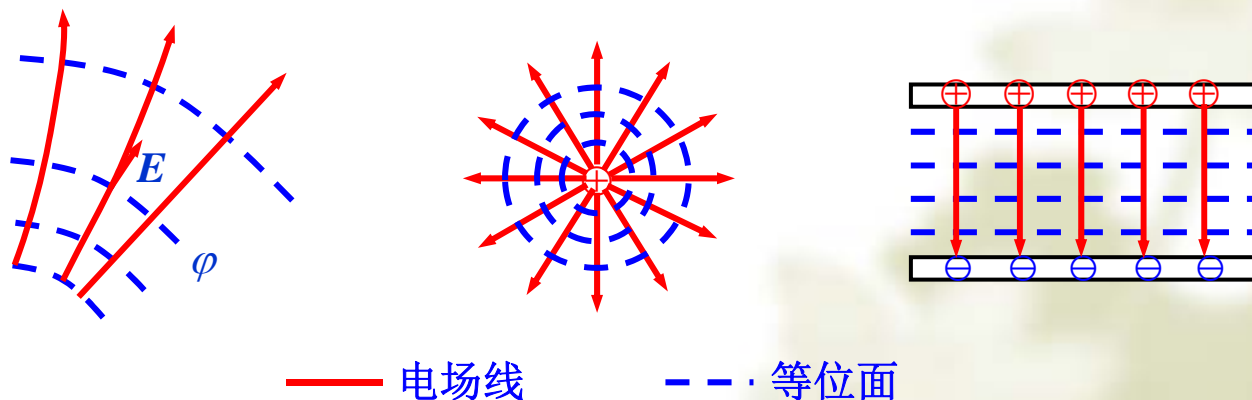
等位面(线)

$$\vec{E}(\vec{r}) = -\nabla \varphi(\vec{r})$$

场中电位相等的各点构成的面或线，叫等位面（线）

$$\varphi(x, y, z) = \text{const}$$

由于电场强度的方向为电位梯度的负方向，而梯度方向总是垂直于等位面，因此，**电场线与等位面一定处处保持垂直**。若规定相邻的等位面之间的电位差 $\Delta\varphi$ 保持恒定，那么等位面密集处表明电位变化较快，因而场强较强。这样，等位面分布的疏密程度也可表示电场强度的强弱。



例：电偶极子远区场的等电位线和电力线

■ 等位线 j 线

$$\varphi_P(r, \theta, \phi) = \frac{qd \cos \theta}{4\pi\epsilon_0 r^2} = C$$

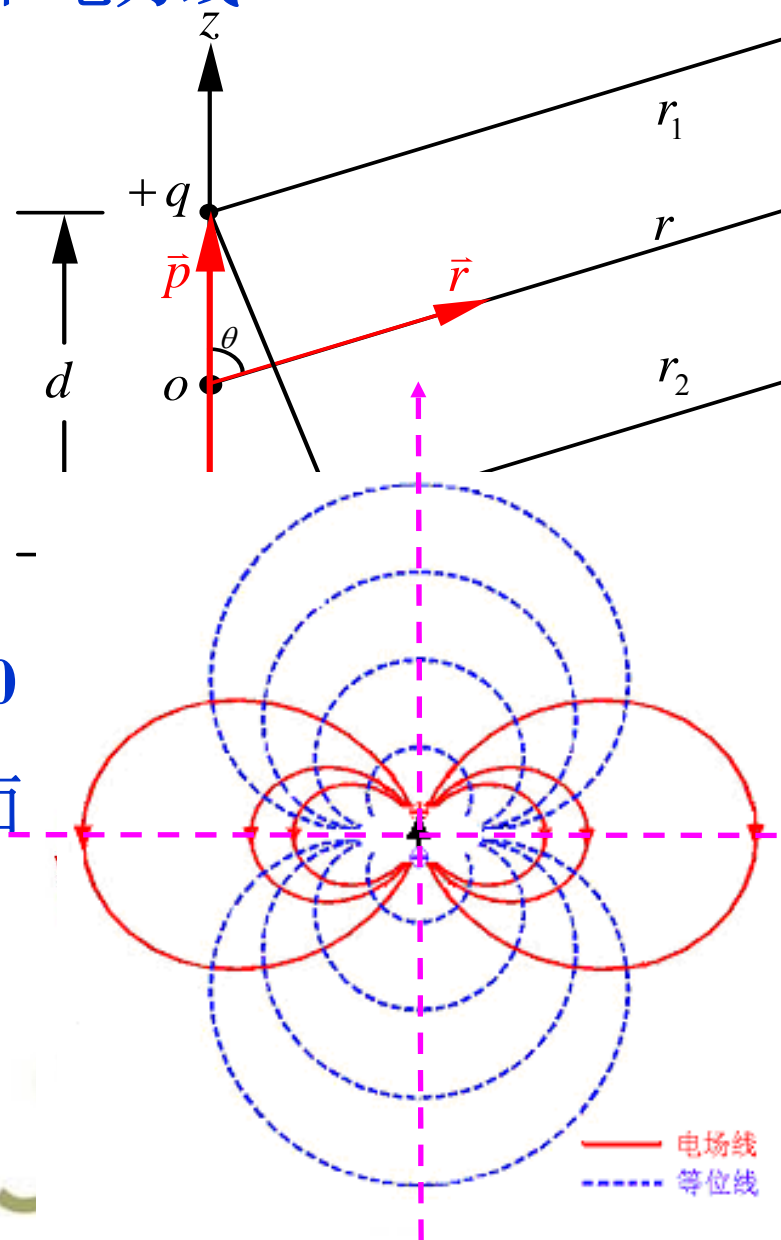
$$r^2 = k_1 \cos \theta \quad k_1 \text{—常数}$$

不同的 k_1 值, r - θ 曲线为等位线。

$$0 \leq \theta < \pi/2 \quad \varphi > 0$$

$\pi/2 < \theta \leq \pi$, 上述曲线的镜像, $\varphi < 0$

$\theta = \pi/2$ (即 $z = 0$) 的平面为零电位面



■ E 线

$$\vec{E} \times d\vec{l} = 0$$

$$\frac{dr}{E_r} = \frac{rd\theta}{E_\theta} = \frac{r \sin \theta d\phi}{E_\phi}$$

$$\frac{dr}{2 \cos \theta} = \frac{rd\theta}{\sin \theta}$$

$$\frac{dr}{r} = \frac{2d(\sin \theta)}{\sin \theta}$$

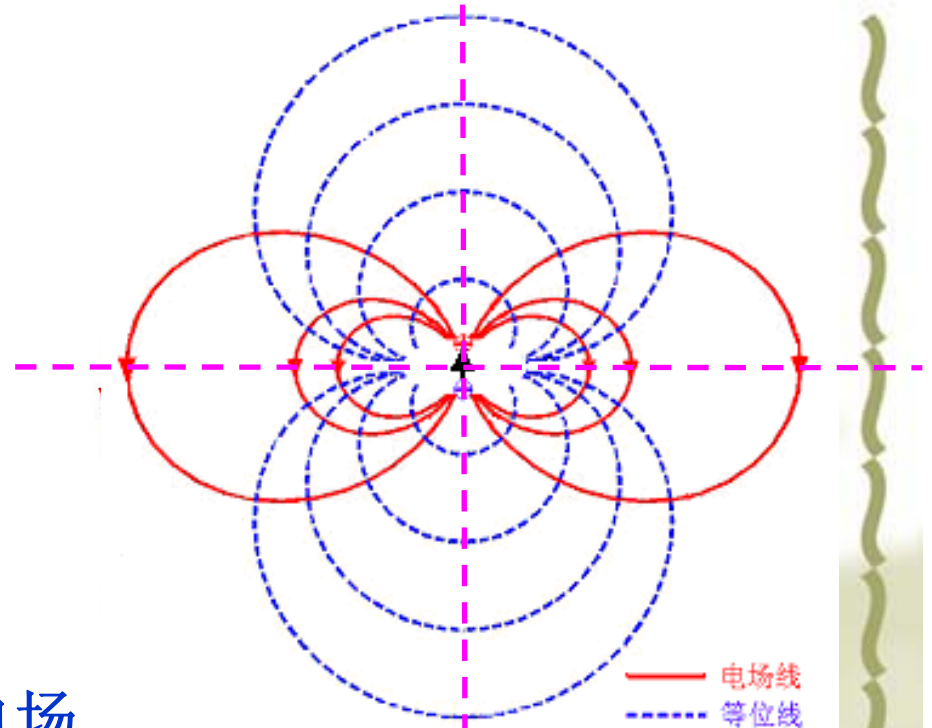
$$\ln r = 2 \ln \sin \theta + \ln k_2$$

$$r = k_2 \sin^2 \theta$$

不同的 k_2 值, $r-\theta$ 曲线为电场

$$\vec{E} = \frac{p}{4\pi\epsilon_0 r^3} (2 \cos \theta \vec{e}_r + \sin \theta \vec{e}_\theta)$$

$$E_\phi = 0, d\phi = 0$$



电偶极子的电场线和等位线分布

2.3 导体和电介质

根据媒质在静电场中的特征，可将其分为导体和电介质（绝缘体）。

■ 一般定义

如果在外电场 \vec{E} 作用下，物质内的电流为 $\vec{J} = \gamma \vec{E}$ （欧姆定律）形式，则称之为导体。反之，无此类电流的，叫做电介质（绝缘体）。

导体： γ 为有限值，超导为无限大

理想电介质： γ 为零，一般电介质的电导率为良导体电导率 10^{-20} 。

导体特征： 导体内包含大量可以自由运动的电子。

2.3.1 静电场中导体的特征

导体中静电场的特征：

静电平衡

1. 导体内

$$\vec{f} = q\vec{E}$$



$$\vec{E} = 0$$

否则，其内的自由电子将会在电场力的作用下运动—非静电平衡



$$\vec{E} = -\nabla\varphi = 0$$

$\varphi = \text{const}$ 导体为等位体

- (1) 导体内部电场强度处处等于零；
- (2) 导体是一个等位体，导体表面是等位面；

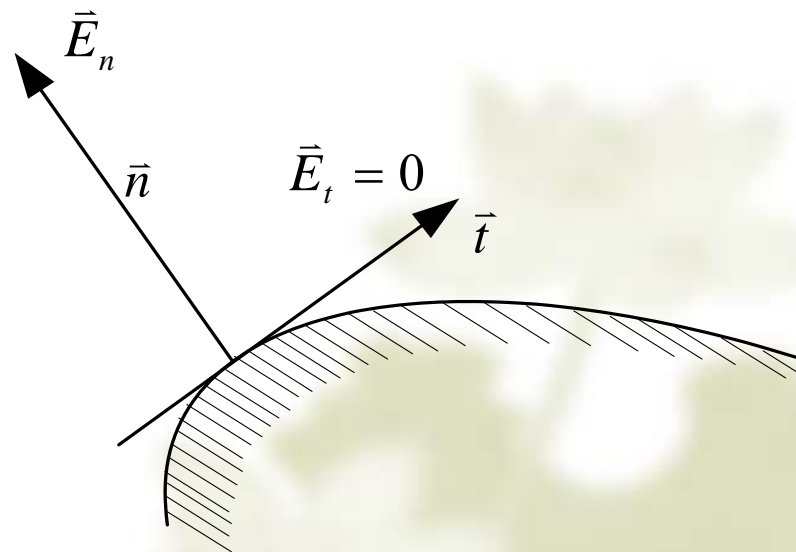
2. 导体表面

(1) 电场强度

既然导体中的电场强度为零，导体表面的外侧不可能存在电场强度的切向分量，否则静电不平衡。换言之，**电场强度必须垂直于导体的表面**，

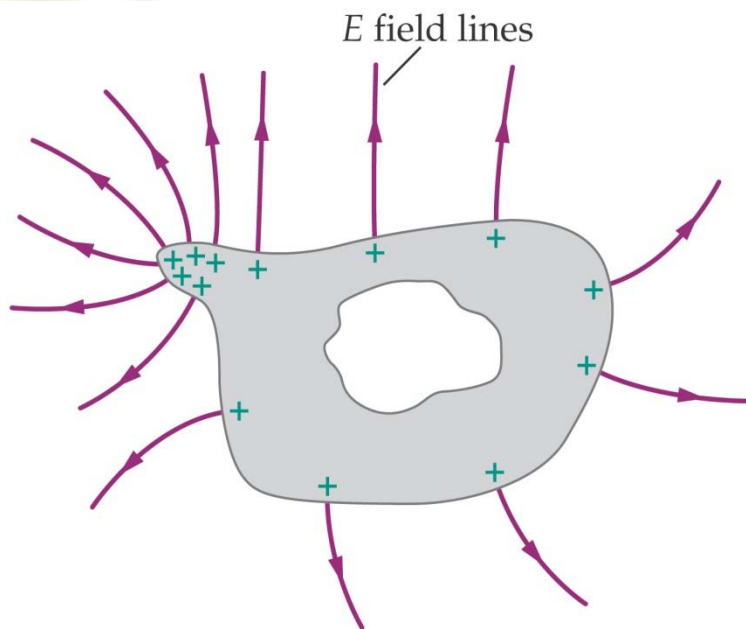
即

$$\vec{e}_n \times \vec{E} = 0$$



(2) 电荷分布

以面电荷密度 $\sigma(\vec{r}')$ 分布的形态，呈现在导体表面，且其分布密度取决于导体表面的曲率（曲率越大，即曲率半径越小，面电荷分布越集中）



$$\sigma = \vec{n} \cdot \vec{D} = D_n$$

\vec{n} 为表面的外法线方向。

导体表面曲率越大，电场越强。

3. 应用

■ 尖端放电现象

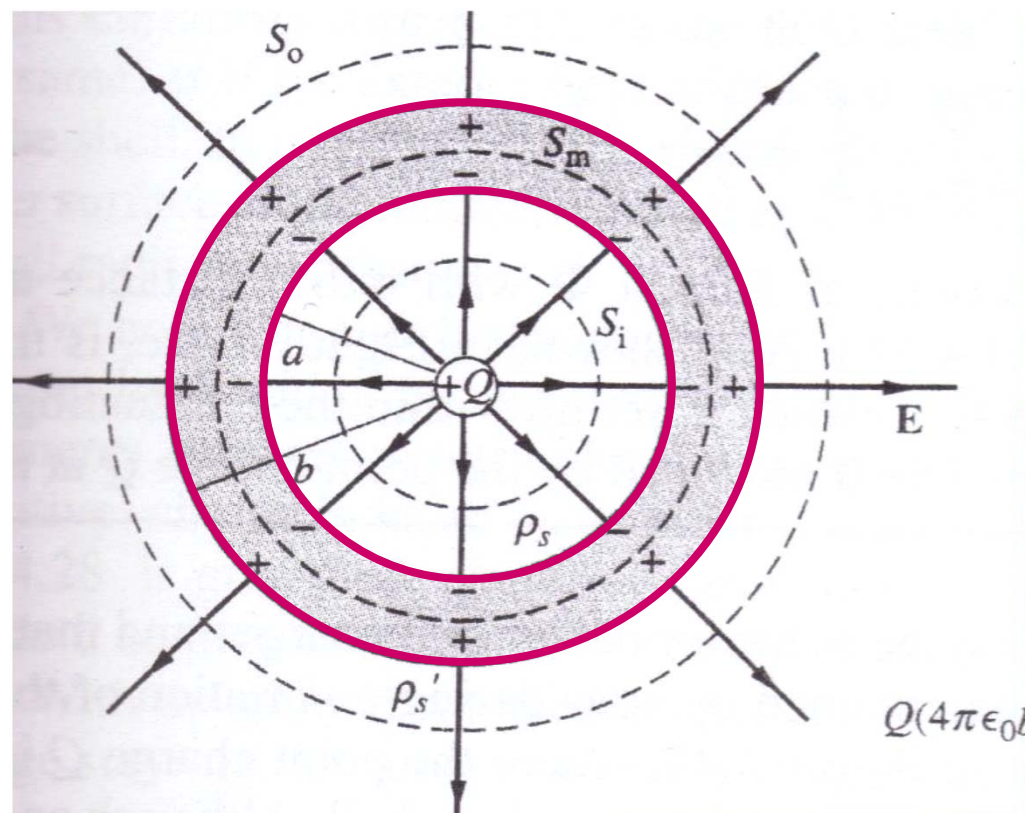
工程应用：避雷针（引雷针）

当带电云层接近时，避雷针尖端感应大部分电荷，当云层上电荷较多时，避雷针与云层之间的空气被击穿，成为导体，带电云层与避雷针形成通路（避雷针接地），避雷针就把云层上的电荷导入大地，使其不对高层建筑构成危险，保证了它的安全。

■ 静电屏蔽

导体内部没有电场，导体壳对外界静电场起“隔离”作用。

例：某一正电荷 Q 置于内外径分别为 a 和 b 金属球壳的球心。
计算：(a) 电场强度，(b) 电位，(c) 球壳内、外表面的电荷密度。



■ 分析

场的特征—球对称 $\vec{E} = \vec{e}_r E_r$

高斯定理

高斯面为球面

对应三个不同的计算区域

高斯面
 S_i

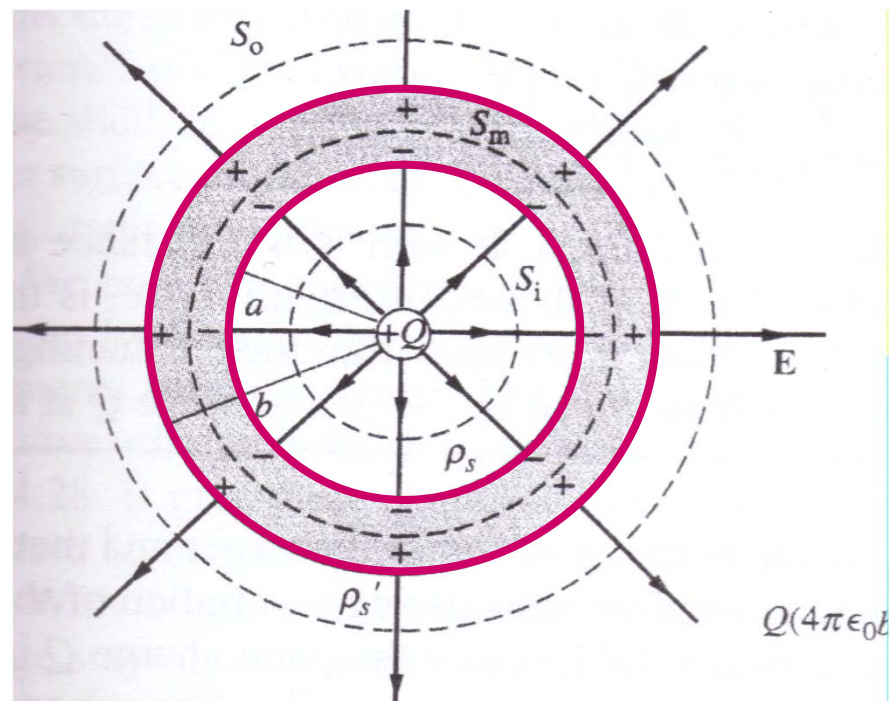
$$r \leq a$$

高斯面
 S_m

$$a \leq r \leq b$$

高斯面
 S_o

$$r \geq b$$



(a) 计算电场强度

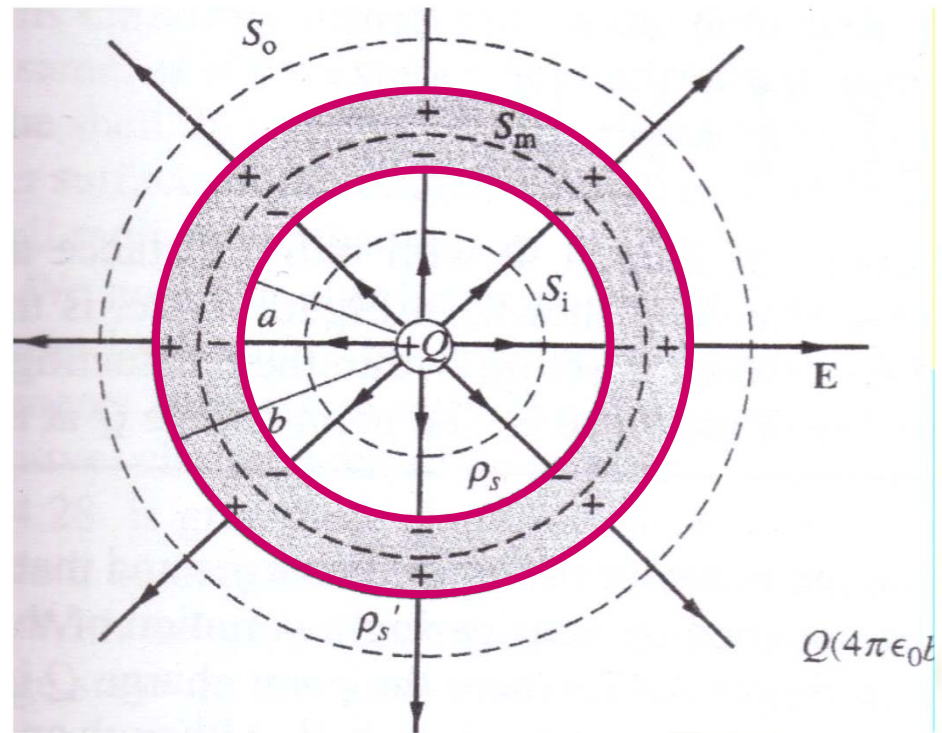
■ 球壳内 $r \leq a$

电场分布

$$\oint_{S_i} \vec{E} \cdot d\vec{s} = \oint_{S_i} E_r \vec{e}_r \cdot \vec{e}_r ds$$

$$= E_r (4\pi r^2) = \frac{Q}{\epsilon_0}$$


$$E_r = \frac{Q}{4\pi\epsilon_0 r^2}$$



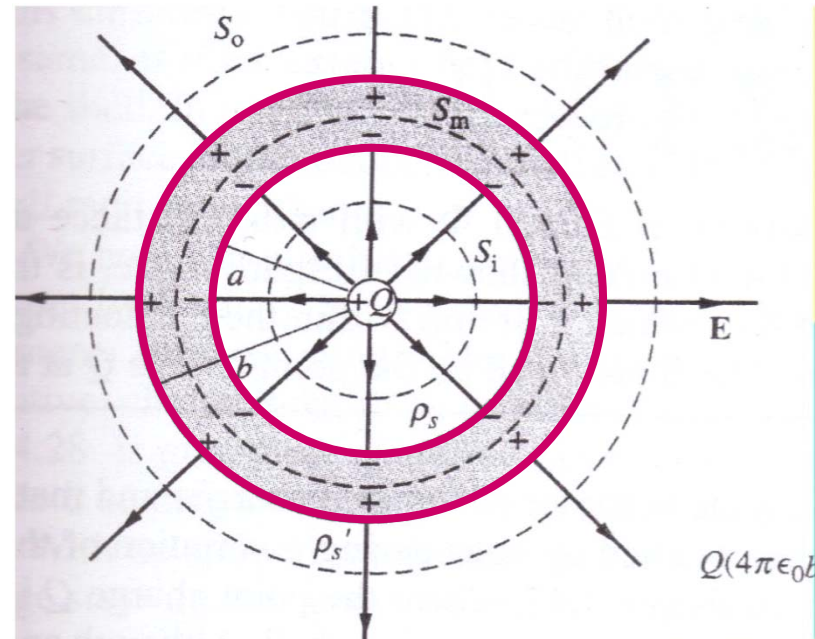
■ 球壳中 $a \leq r \leq b$

■ 电场分布

$$\oint_{S_m} \vec{E} \cdot d\vec{s} = E_r (4\pi r^2)$$
$$= \frac{Q}{\epsilon_0} + \frac{Q_i}{\epsilon_0} = 0$$



$$E_r = 0$$



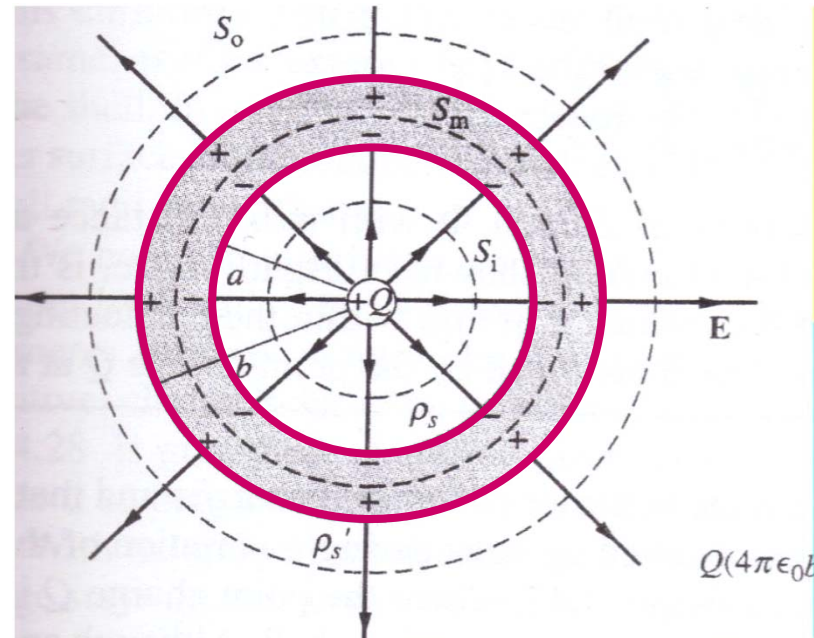
■ 球壳外 $r \geq b$

■ 电场强度分布

在高斯面 S_0 上应用高斯定理有

$$\oint_{S_0} \vec{E} \cdot d\vec{s} = E_r (4\pi r^2)$$
$$= \frac{Q}{\epsilon_0} + \frac{Q_i}{\epsilon_0} + \frac{Q_o}{\epsilon_0} = \frac{Q}{\epsilon_0}$$

$$E_r = \frac{Q}{4\pi\epsilon_0 r^2}$$



■ 计算

■ (b) 电位分布

计算电位分布时，以无限远处为电位的参考点，过程同上次课的例题，此不赘述。


■ (c) 电荷分布

两种方法：(1) 由电荷/面积。

(2) 根据与 D 的关系计算。

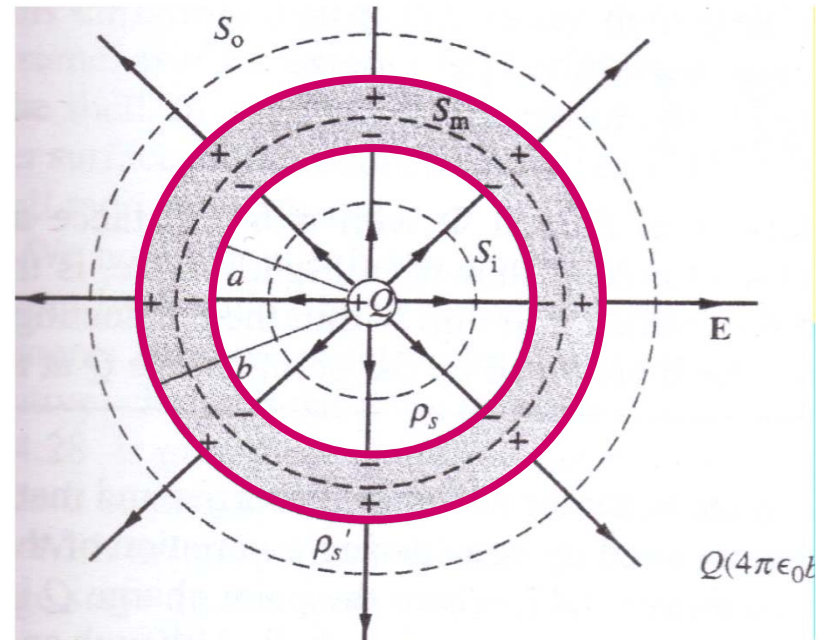
(c) 球壳的内表面($r=a$)电荷密度

$$\vec{D} = \epsilon_0 \vec{E} = \frac{Q}{4\pi a^2} \vec{e}_r$$



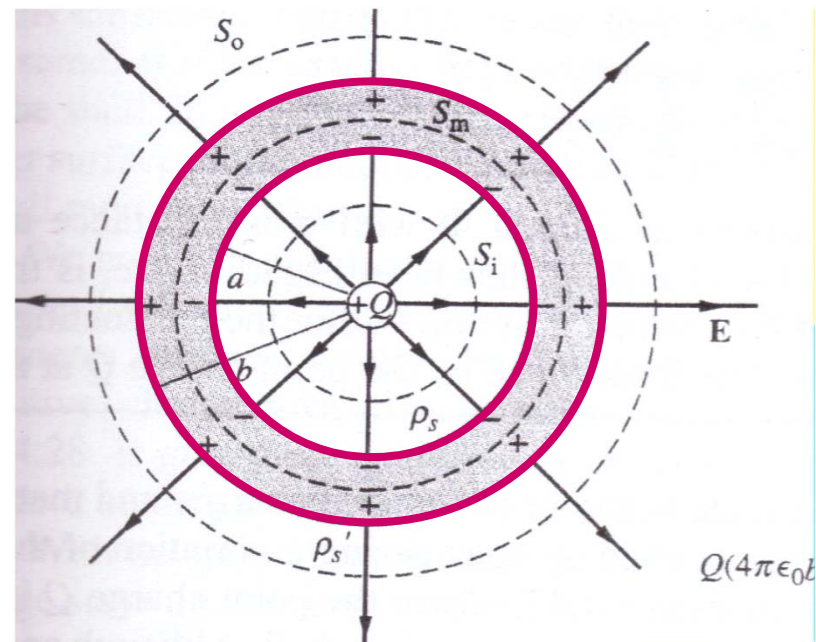
$$\sigma = \vec{n} \cdot \vec{D} = -\vec{e}_r \cdot \vec{e}_r \frac{Q}{4\pi a^2} = -\frac{Q}{4\pi a^2}$$

\vec{n} 为内表面的外法线方向



球壳内表面的总电荷数为

$$\begin{aligned} Q_i &= \oint_{r=a} \sigma ds = \oint_{r=a} -\frac{Q}{4\pi a^2} ds \\ &= -\frac{Q}{4\pi a^2} \oint_{r=a} ds \\ &= -\frac{Q}{4\pi a^2} 4\pi a^2 \\ &= -Q \end{aligned}$$



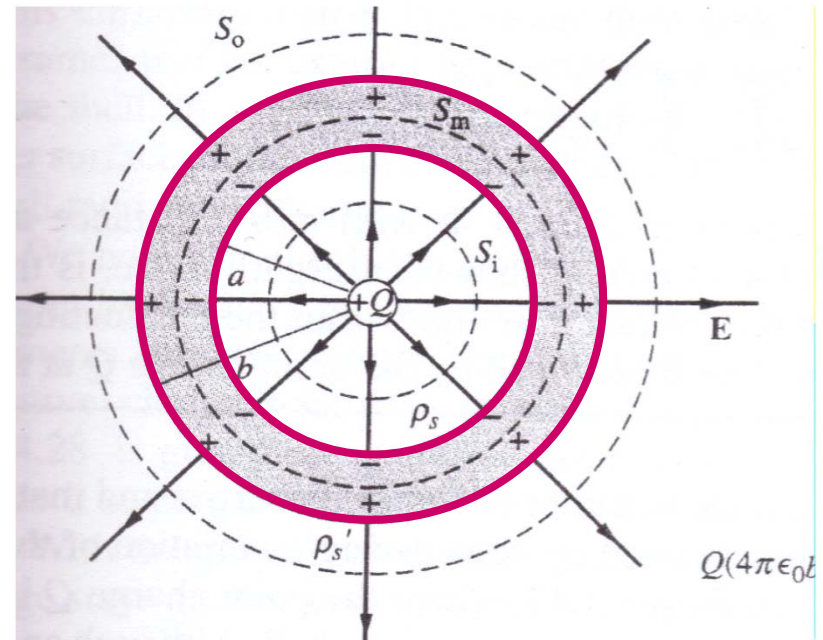
■ 球壳外 $r \geq b$

■ 外表面电荷量

由于导体金属球壳开始时为电中性（不带电荷），因而球壳的外表面所带的电荷量为：

$$Q_o = -Q_i = -(-Q) = Q$$

$$\sigma = \frac{Q}{4\pi b^2}$$



2.3.2 静电场中的电介质·电介质的极化

导体中的电子通常称为**自由电子**，它们所携带的电荷称为**自由电荷**。介质中的电荷是不会自由运动的，这些电荷称为**束缚电荷**。

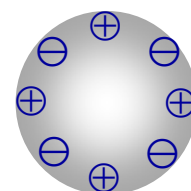
两类电介质：

无极分子电介质

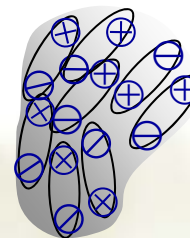
无外电场作用时，正负电荷中心重合，呈电中性。如 H_2 , O_2 , N_2 等

有极分子电介质

无外电场作用时，正负电荷中心不重合，形成电矩，但宏观上由于热运动而呈杂乱无章状态，呈电中性。如 H_2O , SO_2 等。



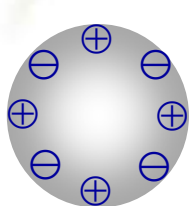
无极分子



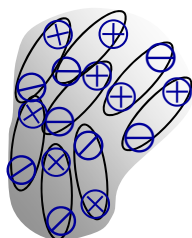
有极分子

极化

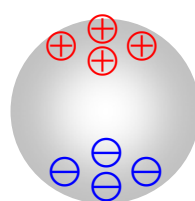
在电场作用下，介质中束缚电荷发生位移，这种现象称为**极化**。通常，无极分子的极化称为**位移极化**，有极分子的极化称为**取向极化**。



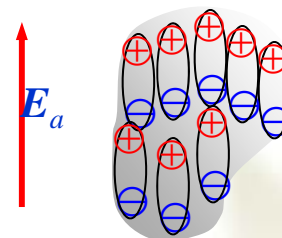
无极分子



有极分子



无极分子



有极分子

- 电介质在外电场作用下发生极化，形成有向排列；
- 电介质内部和表面产生极化电荷 (polarized charge)；
- 极化电荷与自由电荷都是产生电场的源。

极化的**共性结果**—**形成偶极矩**—电偶极矩不再为零。

极化强度

为刻画不同电介质在外电场作用下形成电偶极矩的能力，引入极化强度的概念

极化强度

$$\bar{P} = \frac{\sum_{i=1}^N \bar{p}_i}{\Delta V} \quad (\text{C/m}^2) \quad \bar{p}_i = q\vec{d}$$

单位体积内的电偶极矩的矢量和

式中 \bar{p}_i 为体积 ΔV 中第 i 个电偶极子的电矩， N 为 ΔV 中电偶极子的数目。这里 ΔV 应理解为物理无限小的体积。

实验结果表明，大多数介质在电场的作用下发生极化时，其极化强度 P 与介质中的合成电场强度 E 成正比，即

$$P = \varepsilon_0 \chi_e E$$

式中 χ_e 称为极化率，它是一个正实数。

介质中各点的电极化率为同一常数，称为均匀介质。

电极化率与电场方向无关，称为各向同性介质。

电极化率的值不随电场强度的量值而变化，称为线性介质。

■ 极化场的场分布——源量(束缚电荷)— 场量(\vec{P})间的关联

极化电场=电偶极子(由束缚电荷极化产生)产生的极化电场+外电场形成的合成电场。

■ 极化场的一般计算式

已知电偶极子

$$\varphi = \frac{1}{4\pi\epsilon_0} \cdot \frac{\vec{p} \cdot \vec{e}_r}{r^2} \quad \vec{P} = \frac{\sum_{i=1}^N \vec{p}_i}{\Delta V}$$

体积 dV '电偶极子

$$d\varphi_P = \frac{\vec{P} dV' \cdot \vec{e}_R}{4\pi\epsilon_0 R^2} \quad \varphi_P = \int_{V'} d\varphi_P$$

P67书推导

$$\varphi_P = \frac{1}{4\pi\epsilon_0} \oint_{S'} \frac{\vec{P} \cdot \vec{e}_n}{R} dS' + \frac{1}{4\pi\epsilon_0} \int_{V'} \frac{-\nabla' \cdot \vec{P}}{R} dV'$$

$$\varphi_P = \frac{1}{4\pi\epsilon_0} \oint_{S'} \frac{\vec{P} \cdot \vec{e}_n}{R} dS' + \frac{1}{4\pi\epsilon_0} \int_{V'} \frac{-\nabla' \cdot \vec{P}}{R} dV'$$

定义极化电荷面、体密度

$$\sigma_P = \vec{P} \cdot \vec{e}_n$$

$$\rho_P = -\nabla' \cdot \vec{P}$$

$$\varphi_P = \frac{1}{4\pi\epsilon_0} \left[\int_{V'} \frac{\rho_P(\vec{r}')}{|\vec{r} - \vec{r}'|} dV' + \int_{S'} \frac{\sigma_P(\vec{r}')}{|\vec{r} - \vec{r}'|} dS' \right]$$

类比自由电荷

$$\vec{E}(r) = \frac{1}{4\pi\epsilon_0} \left[\int_{V'} \rho_P(r') \frac{\vec{r} - \vec{r}'}{|\vec{r} - \vec{r}'|^3} dV' + \int_{S'} \sigma_P(r') \frac{\vec{r} - \vec{r}'}{|\vec{r} - \vec{r}'|^3} dS' \right]$$

自由电荷

$$\varphi(\vec{r}) = \frac{1}{4\pi\epsilon_0} \int_{V'} \frac{\rho(\vec{r}')}{|\vec{r} - \vec{r}'|} dv' \quad \varphi(\vec{r}) = \frac{1}{4\pi\epsilon_0} \int_{S'} \frac{\sigma(\vec{r}')}{|\vec{r} - \vec{r}'|} dS'$$

$$\vec{E} = \frac{1}{4\pi\epsilon_0} \int_{V'} \frac{\rho dV'}{R^2} \vec{e}_R \quad \vec{E} = \frac{1}{4\pi\epsilon_0} \int_{S'} \frac{\sigma dS'}{R^2} \vec{e}_R$$

■ 注意:

- 均匀介质，其内部无极化电荷分布，即 $\rho_P = 0$ ；极化电荷将仅分布在介质的表面；
- 根据电荷守恒定律，介质极化后，整体极化电荷分布的总和应等于零。即

$$(q_P)_t = \oint_{S'} \vec{P} \cdot \vec{e}_n dS + \int_{V'} -\nabla' \cdot \vec{P} dV = 0$$

2.4 电介质中的电场

电介质中的电场——真空中自由电荷与极化电荷共同产生的静电场。

2.4.1 电介质中的高斯定理

1. 微分形式

$$\nabla \cdot \vec{E} = \frac{\rho + \rho_P}{\varepsilon_0} = \frac{1}{\varepsilon_0} (\rho - \nabla \cdot \vec{P})$$

$$\nabla \cdot (\varepsilon_0 \vec{E} + \vec{P}) = \rho$$



$$\vec{D} = \varepsilon_0 \vec{E} + \vec{P}$$

$$\nabla \cdot \vec{D} = \rho$$

2. 积分形式

$$\oiint_S \vec{D} \cdot d\vec{S} = \int_V (\nabla \cdot \vec{D}) dV = \int_V \rho dV = q$$

$$\nabla \cdot \vec{D} = \rho$$

$$\nabla \cdot \vec{E} = \frac{\rho + \rho_P}{\epsilon_0}$$

$$\vec{D} = \epsilon_0 \vec{E} + \vec{P}$$

■ 注意:

➤ 由散度特性可见，电位移矢量 \vec{D} 的源是自由电荷，故电介质中，穿过任一闭合面， \vec{D} 通量等于该闭合面内自由电荷的代数和，而与束缚电荷无关。

➤ \vec{D} 通量 \sim 自由电荷，并不意味 \vec{D} 的分布与介质无关（事实上， $\vec{D} = \epsilon_0 \vec{E} + \vec{P}$ 即已给出）

➤ 存在电介质时， \vec{E} 的源既可是自由电荷，也可以是束缚电荷

2.4.2 介电常数 ϵ 击穿场强

1. 介电常数

$$\bar{D} = \epsilon_0 \bar{E} + \bar{P} = \epsilon_0 (1 + \chi_e) \bar{E} \stackrel{\text{令 } \epsilon = \epsilon_0 (1 + \chi_e)}{=} \epsilon \bar{E} \quad \bar{P} = \chi_e \epsilon_0 \bar{E}$$

即电介质的媒质的构成方程 $\bar{D} = \epsilon \bar{E}$

$$\epsilon = \epsilon_0 (1 + \chi_e)$$

ϵ : 介质的介电常数, 表征了介质的极化特性。

已知极化率 χ_e 为正实数, 因此, 一切介质的介电常数均大于真空的介电常数。

$$\varepsilon_r = \frac{\varepsilon}{\varepsilon_0} = 1 + \chi_e$$

相对介电常数

可见，任何介质的相对介电常数总是大于1。下表给出了几种介质的相对介电常数的近似值。

介 质	ε_r	介 质	ε_r
空 气	1.0	石 英	3.3
油	2.3	云 母	6.0
纸	1.3~4.0	陶 瓷	5.3~6.5
有机玻璃	2.6~3.5	纯 水	81
石 蜡	2.1	树 脂	3.3
聚乙烯	2.3	聚苯乙烯	2.6

2. 电介质的击穿场强 E_j

在强电场的作用下，电介质中的束缚电荷可能会摆脱分子束缚力而自由移动，电介质丧失了绝缘性能，进而变成导体。这种现象，称之为电介质的击穿。此临界场强，称为该电介质的击穿场强。

- 雷击闪电——大气被雷积云与大地间的高电场击穿的实例。

常态下大气（空气）

$$E_j = 3 \times 10^6 \text{ V/m} = 30 \text{ kV/cm}$$

- 各类开关中的电弧放电——空气、油被击穿
- 工程上，对于绝缘材料的应用，规定 $E_{\text{工作}} < E_j$

3. 电介质中的电场的求解

对于具有一定对称性（球、柱、面对称性）的场，应用介质中的高斯定理求解。

对于均匀介质，高斯定理

$$\oint_S \mathbf{E} \cdot d\mathbf{S} = \frac{q}{\varepsilon}$$

$$\nabla \cdot \mathbf{E} = \frac{\rho}{\varepsilon}$$

可见，对于均匀介质，只须将真空中高斯定理的真空介电常数换为介质的介电常数即可。

P72-73 例2-9 自学

例2-8

一理想的平板电容器由直流电压源 U_0 充电后又断开电源，然后在两极板间插入一厚度等于 d 的均匀介质板，其相对介电常数 $\epsilon_r=6$ 。忽略极板的边缘效应，试求：

- 1) 插入介质板前后平行板间各点的电场强度 E 、电位移矢量 D 和电位 φ ，以及极板上的电荷分布；
- 2) 介质板表面和内部的极化电荷分布。

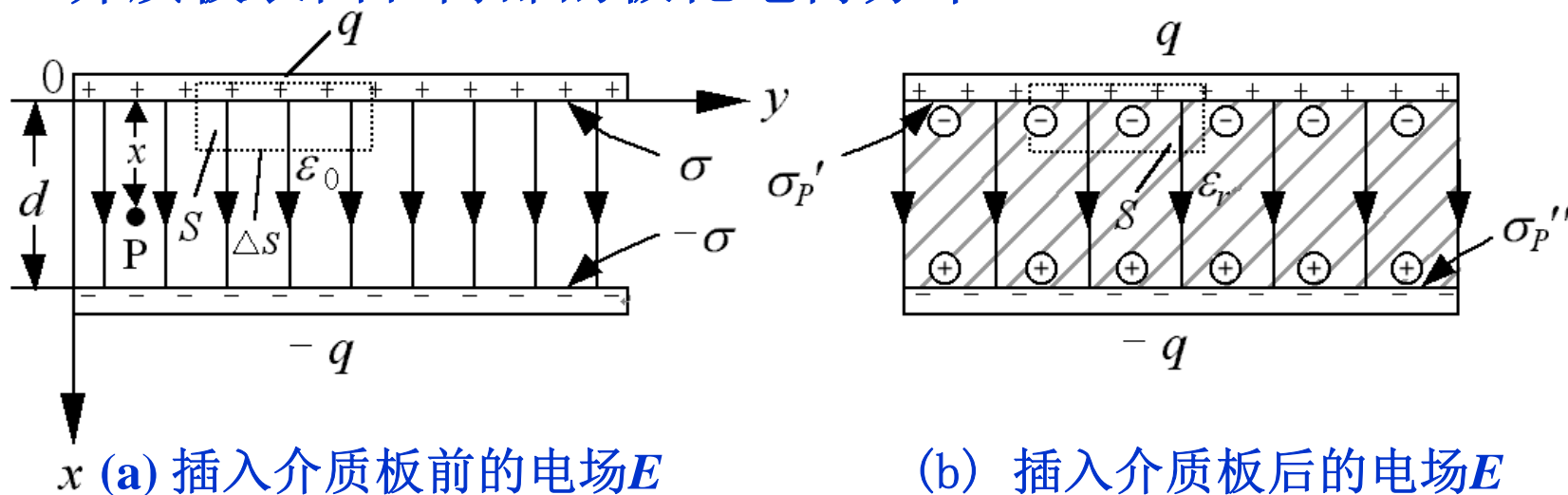
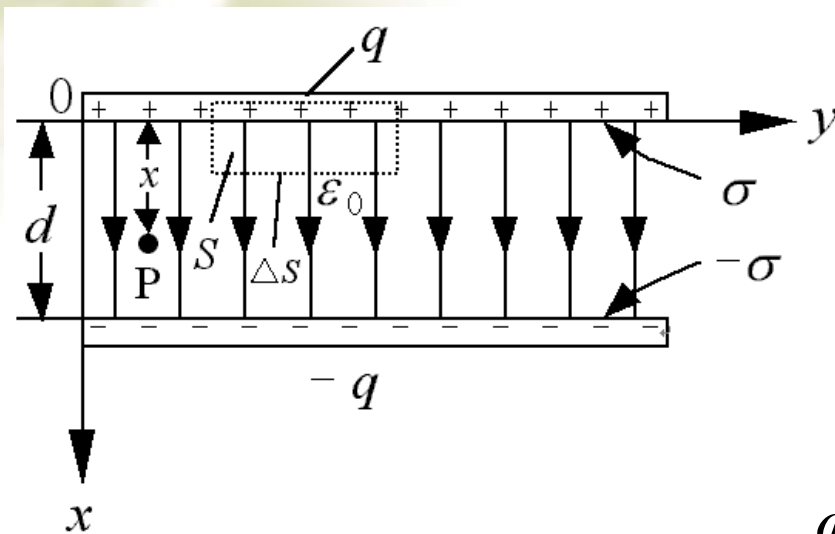


图2-12 理想平板电容器的电场

1) 计算—插入介质板前



$$\vec{E}_0 = \frac{U_0}{d} \vec{e}_x$$

$$\vec{D}_0 = \varepsilon_0 \vec{E}_0 = \varepsilon_0 \frac{U_0}{d} \vec{e}_x$$

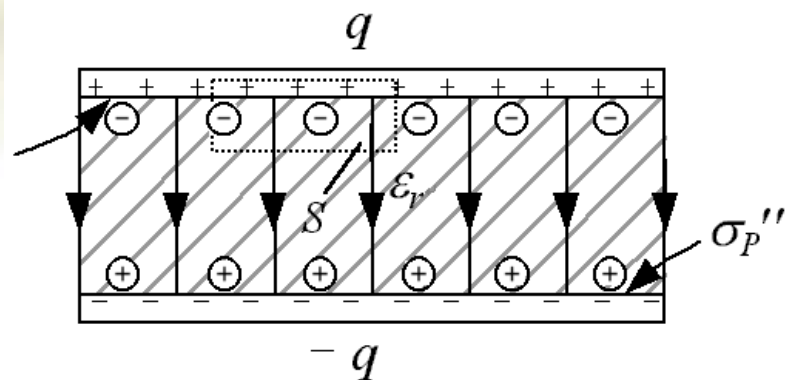
取负极板电位为参考电位，则任一点P电位为：

$$\varphi_p = \int_x^d \vec{E}_0 \cdot d\vec{l} = \int_x^d E_0 dx = \frac{U_0}{d} (d - x)$$

$$\sigma = D_0 = \varepsilon_0 \frac{U_0}{d}$$

■ 计算—插入介质板后

插入介质板前后，极板上的自由电荷(密度)不变



$$\oint_S \vec{D} \cdot d\vec{S} = q = D\Delta S = \sigma\Delta S$$

$$D = \sigma = \epsilon_0 \frac{U_0}{d}$$

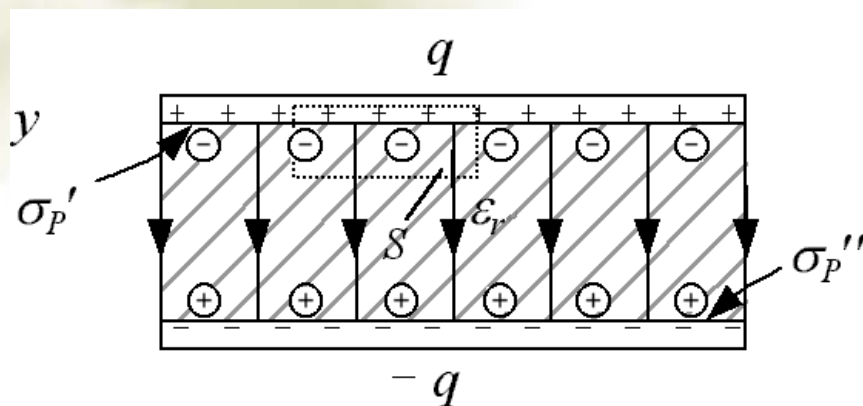
$$\vec{E} = \frac{\vec{D}}{\epsilon} = \frac{U_0}{\epsilon_r d} \vec{e}_x$$

$$\phi_P' = \int_x^d E dx = \frac{U_0}{\epsilon_r d} (d - x)$$

$$\epsilon_r = \frac{\epsilon}{\epsilon_0} = 1 + \chi_e$$

2) 计算一介质板表面和内部的极化电荷分布。

■ 极化强度 \mathbf{P}



$$\vec{P} = \chi_e \epsilon_0 \vec{E} = (\epsilon_r - 1) \epsilon_0 \vec{E}$$

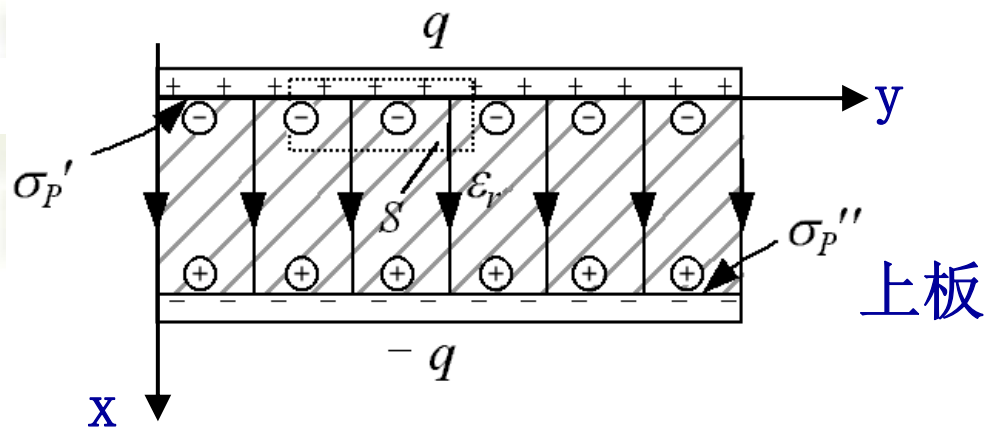
$$\vec{E} = \frac{\vec{D}}{\epsilon} = \frac{U_0}{\epsilon_r d} \vec{e}_x$$

$$\vec{P} = \frac{(\epsilon_r - 1) \epsilon_0 U_0}{\epsilon_r d} \vec{e}_x$$

■ 极化体电荷密度

$$\rho_p = -\nabla \cdot \mathbf{P} = 0$$

■ 极化面电荷密度



外法向 \vec{e}_n

(从电介质处看，
不是从极板处看)

$$\vec{P} = \frac{(\epsilon_r - 1)\epsilon_0 U_0}{\epsilon_r d} \vec{e}_x \quad \sigma = \epsilon_0 \frac{U_0}{d}$$

$$\sigma_P = \vec{P} \cdot \vec{e}_n$$

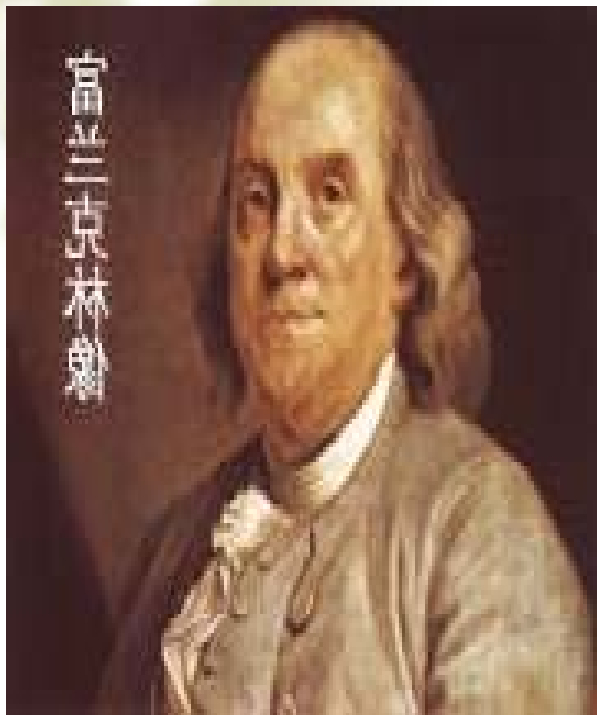
$$\begin{aligned} \sigma'_P &= \vec{P} \cdot \vec{e}'_n = \frac{(\epsilon_r - 1)\sigma}{\epsilon_r} \vec{e}_x (-\vec{e}_x) \\ &= -\frac{(\epsilon_r - 1)\sigma}{\epsilon_r} \end{aligned}$$

$$\begin{aligned} \text{下板 } \sigma'_P &= \vec{P} \cdot \vec{e}''_n = \frac{(\epsilon_r - 1)\sigma}{\epsilon_r} \vec{e}_x (\vec{e}_x) \\ &= \frac{(\epsilon_r - 1)\sigma}{\epsilon_r} \end{aligned}$$



作业： 2-5, 2-6, 2-7, 2-8

富兰克林对雷电现象的研究



1. 富兰克林(1706-1790): 美国人在全家10个孩子中排行8, 其父是小手工业者, 家境贫困。他在10岁时缀学, 12岁当印刷所学徒, 阅读了许多书籍, 和几个青年创办了“共读社”, 后来成为科学家和政治家。自己写的墓志铭: “印刷工富兰克林”。

从苍天那里取得了雷电, 从
暴君那里取得了民权。——
杜尔格 (法)

2. 费城实验

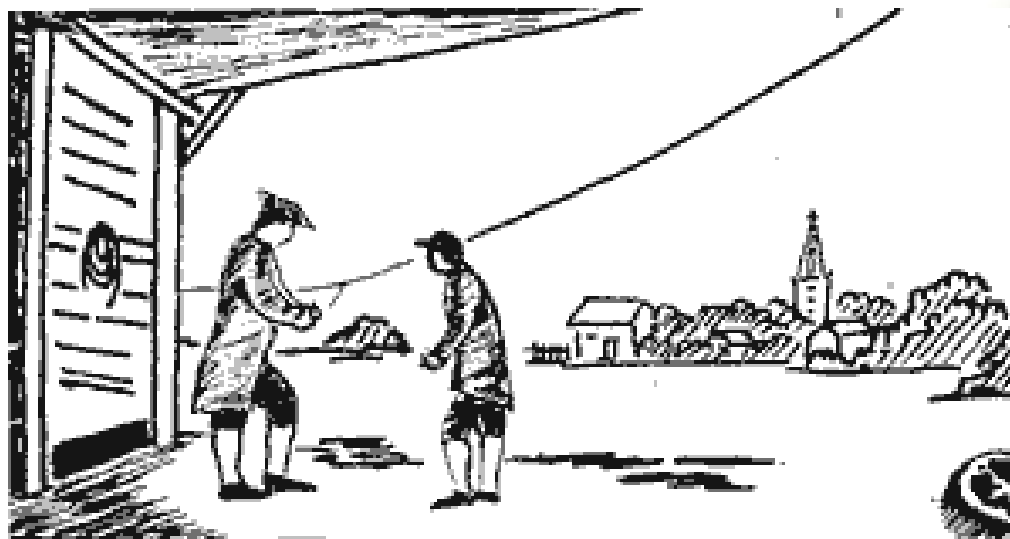
1746年，一位英国学者在波士顿利用玻璃管和莱顿瓶表演了电学实验。富兰克林怀着极大的兴趣观看了他的表演，并被电学这一刚刚兴起的科学强烈地吸引住了。随后富兰克林开始了电学的研究。富兰克林在家里做了大量实验，研究了两种电荷的性能，说明了电的来源和在物质中存在的现象。在十八世纪以前，人们还不能正确地认识雷电到底是什么。当时人们普遍相信雷电是上帝发怒的说法。一些不信上帝的有识之士曾试图解释雷电的起因，但都未获成功，学术界比较流行的是认为雷电是“气体爆炸”的观点。

富兰克林当时已40岁时，对电很有兴趣。其中有一个想法，天上的电和地电是统一的吗？

他经过反复思考，断定雷电也是一种放电现象，它和在实验室产生的电在本质上是一样的。于是，他写了一篇名叫《论天空闪电和我们的电气相同》的论文，并送给了英国皇家学会。但富兰克林的伟大设想竟遭到了许多人的嘲笑，有人甚至嗤笑他是“想把上帝和雷电分家的狂人”。

富兰克林决心用事实来证明一切。1752年6月的一天，一个电闪雷鸣的上午，他将一个风筝放到空中，风筝下有一根铁丝，铁丝下栓一根麻绳，当一道闪电从风筝上掠过，富兰克林用手靠近风筝上的铁丝，立即掠过一种恐怖的麻木感。

他抑制不住内心的激动，大声呼喊：“威廉，我被电击了！”随后，他又将风筝线上的电引入莱顿瓶中。回到家里以后，富兰克林用雷电进行了各种电学实验，证明了天上的雷电与人工摩擦产生的电具有完全相同的性质。富兰克林关于天上和人间的电是同一种东西的假说，在他自己的这次实验中得到了光辉的证实。



富兰克林的工作，揭开了雷电的奥秘，统一了“天电”和“地电”，震惊了科学界。

小插曲：

为了验证“地电”与“天电”的相同处，富兰克林想到雷可以击死动物，于是他就实验用“地电”去击杀火鸡，结果被电打昏了。苏醒后，却不介意地说：“我本想用电杀死一只火鸡，结果差点电死了一个傻瓜。”

然而，风险是的确存在的。1753年，俄国的里赫曼在做大气电实验时不幸中电身亡，为科学献身。

3. 发明避雷针:富兰克林并不满足, 将他的发现转化为了新的发明。避雷针诞生了。

4. 科学兴趣广泛:命名了正电, 负电, 发现了电荷守恒定律, 研究了火炉的改良, 植物的移植, 传染病的防治。写出了《电学的实验和研究》的著作。

5. 富兰克林是独立宣言和美国宪法的起草人之一, 为祖国的独立和解放作出了贡献的政治活动家。

1. (15 分) 电磁场的基本规律性可由电磁场基本方程组(麦克斯韦方程组)予以描述, 试写出此基本方程组的以下各种表述方式(除标出外, 其他一空 1 分):

方程 方程的称谓	积分形式	微分形式	时谐场中的 相量(有效值)形式
全电流定律			
电磁感应定律			
磁通连续性原理或磁场 中的高斯定理			
电场中的高斯定理			